说明书摘要

本发明公开了一种基于三重冗余表决的车辆电子安全控制方法及系统，通过构建物理空间分离的三重模态同步执行架构与专用硬件逐位多数表决机制，实现了纳秒至微秒级的瞬时错误屏蔽，消除了单点故障对实时控制的影响；同时利用连续多周期不一致判定结合高速并行同步总线，将故障单元的异常状态识别与正常单元的状态无缝复制压缩至亚毫秒级，避免了传统方案中因系统重启导致的控制中断，确保了制动、转向等关键指令执行的连续性；配合周期性全内存校验与自适应安全评估策略，进一步构建了从瞬时干扰屏蔽到软错误纠正的全周期防御体系，显著提升了车载电子控制系统在宇宙辐射、强电磁干扰及高温振动等严苛场景下的安全性、鲁棒性与可用性。

摘要附图


构建由三个功能相同且物理相互隔离的处理单元组成的执行架构，利用统一时钟源驱动各处理单元并通过等长布线连接控制总线，确立初始状态基准
将传感器数据通过广播式分发网络同时发送至三个处理单元，各处理单元依据初始状态基准执行完全相同的控制软件指令集，并在指令执行过程中插入空操作指令以维持流水线节奏一致，同时计算各处理单元的实时相位偏差
将三个处理单元生成的独立输出向量送入专用硬件表决模块，该模块对每个控制信号的每一位执行多数逻辑判断，仅将至少两个单元一致的输出结果作为有效信号输出，并计算瞬时一致性系数
监测三个处理单元在连续多个周期内的输出一致性，当某一处理单元的输出持续与其他两者不一致时，判定该处理单元发生故障，统计故障计数并立即通过高速并行同步总线从其余正常单元完整复制寄存器和随机存取存储器状态
每隔预设时间周期自动触发全内存校验机制，计算各处理单元随机存取存储器页的循环冗余校验和并进行比对，若发现校验和不一致则利用正常单元的存储数据覆盖故障单元的对应数据页
根据相位偏差、瞬时一致性系数及故障计数信息，综合评估系统当前安全指数，当安全指数低于预设阈值时自动调整控制频率或切换至保守驾驶模式

1. 一种基于三重冗余表决的车辆电子安全控制方法，其特征在于，包括：

构建由三个功能相同且物理相互隔离的处理单元组成的执行架构，利用统一时钟源驱动各处理单元并通过等长布线连接控制总线，确立初始状态基准；

将传感器数据通过广播式分发网络同时发送至三个处理单元，各处理单元依据初始状态基准执行完全相同的控制软件指令集，并在指令执行过程中插入空操作指令以维持流水线节奏一致，同时计算各处理单元的实时相位偏差；

将三个处理单元生成的独立输出向量送入专用硬件表决模块，该模块对每个控制信号的每一位执行多数逻辑判断，仅将至少两个单元一致的输出结果作为有效信号输出，并计算瞬时一致性系数；

监测三个处理单元在连续多个周期内的输出一致性，当某一处理单元的输出持续与其他两者不一致时，判定该处理单元发生故障，统计故障计数并立即通过高速并行同步总线从其余正常单元完整复制寄存器和随机存取存储器状态；

每隔预设时间周期自动触发全内存校验机制，计算各处理单元随机存取存储器页的循环冗余校验和并进行比对，若发现校验和不一致则利用正常单元的存储数据覆盖故障单元的对应数据页；

根据相位偏差、瞬时一致性系数及故障计数信息，综合评估系统当前安全指数，当安全指数低于预设阈值时自动调整控制频率或切换至保守驾驶模式。

2.根据权利要求1所述的一种基于三重冗余表决的车辆电子安全控制方法，其特征在于，三个所述处理单元被安置于车辆内部空间布局上振动特性、温度梯度及电磁场分布截然不同的区域，以切断因单一环境因素导致的共模故障风险。

3.根据权利要求1所述的一种基于三重冗余表决的车辆电子安全控制方法，其特征在于，所述确立初始状态基准包括：每个处理单元独立读取内部存储的固件代码并通过哈希校验算法验证代码完整性，随后通过高速并行同步总线交换各自的初始状态标识，仅在三个单元确认状态标识完全匹配且均处于就绪状态时进入主控制循环。

4.根据权利要求1所述的一种基于三重冗余表决的车辆电子安全控制方法，其特征在于，所述计算各处理单元的实时相位偏差包括：以统一时钟源的上升沿定义为理想同步时刻，计算各处理单元实际执行时刻与理想同步时刻的时间差值，并将时间差值与最大允许相位偏差进行比较，若超过阈值则触发气泡插入逻辑强制拉齐进度。

5.根据权利要求1所述的一种基于三重冗余表决的车辆电子安全控制方法，其特征在于，所述计算瞬时一致性系数包括：统计三个处理单元输出向量中所有位发生分歧的总比特数，将其除以总比特数得到差异比例，用一减去该差异比例得出瞬时一致性系数，并以此判断是否存在异常输出。

6.根据权利要求1所述的一种基于三重冗余表决的车辆电子安全控制方法，其特征在于，所述统计故障计数包括：设定滑动时间窗记录特定处理单元输出与多数表决结果不一致的次数，当累计次数超

过预设故障阈值时正式判定该处理单元发生故障并启动重同步流程。

7.根据权利要求 1 所述的一种基于三重冗余表决的车辆电子安全控制方法，其特征在于，所述立即通过高速并行同步总线从其余正常单元完整复制寄存器和随机存取存储器状态包括：采用双缓冲机制确保数据传输的原子性，即在目标处理单元准备好接收新状态的同时，源处理单元继续提供最新数据，待双方缓冲区切换完成后统一更新。

8.根据权利要求 1 所述的一种基于三重冗余表决的车辆电子安全控制方法，其特征在于，所述利用正常单元的存储数据覆盖故障单元的对应数据页包括：在计算循环冗余校验和之前先对内存数据进行错误纠正码解码，若错误纠正码能定位并纠正单比特错误则直接使用纠正后的数据重新计算校验和，若无法纠正则直接标记为脏数据并进行全盘复制。

9.根据权利要求 1 所述的一种基于三重冗余表决的车辆电子安全控制方法，其特征在于，所述综合评估系统当前安全指数包括：将近期平均瞬时一致性系数、平均故障计数及内存错误率作为输入变量，根据权重分配计算得出综合安全指数，并据此决定是维持原状还是降低控制频率以增加计算裕度。

10.一种用于实现如权利要求 1-9 任意一项所述方法的基于三重冗余表决的车辆电子安全控制系统，其特征在于，包括：

物理隔离执行单元组，由三个功能相同且物理相互隔离的处理单元组成，分别安置于车辆内部空间布局上振动特性、温度梯度及电磁

场分布截然不同的区域，并通过统一时钟源驱动及等长布线连接控制总线；

数据分发与并发执行模块，用于将传感器数据通过广播式分发网络同时发送至三个处理单元，并在指令执行过程中插入空操作指令以维持流水线节奏一致，同时计算各处理单元的实时相位偏差；

专用硬件表决模块，采用现场可编程门阵列或专用集成电路，用于对三个处理单元生成的独立输出向量的每一位执行多数逻辑判断，仅输出至少两个单元一致的结果，并计算瞬时一致性系数；

状态重同步与故障判定单元，用于监测连续多个周期的输出一致性，统计故障计数，当判定故障时通过高速并行同步总线从正常单元复制寄存器和随机存取存储器状态；

周期性校验与维护单元，用于每预设时间周期自动触发全内存校验机制，计算循环冗余校验和并比对，利用正常数据覆盖故障数据页；

自适应控制策略调整单元，用于根据前述步骤产生的相位偏差、瞬时一致性系数及故障计数信息综合评估系统安全指数，并在安全指数低于阈值时调整控制频率或切换至保守驾驶模式。

一种基于三重冗余表决的车辆电子安全控制方法及系统

技术领域

本发明涉及车辆电子安全技术领域，具体是涉及一种基于三重冗余表决的车辆电子安全控制方法及系统。

背景技术

随着汽车电子技术的飞速发展，自动驾驶、电控底盘及主动安全系统对车载电子控制系统的功能安全等级提出了严苛要求。现有的车辆电子控制系统通常采用单一处理单元或简单的双冗余架构执行关键控制任务：常规工况下虽能维持正常运行，但在宇宙辐射、强电磁干扰、剧烈振动或极端高温等恶劣环境中，单一处理单元极易发生单粒子翻转（SEU）等软错误，或因硬件老化引发硬故障。

现有技术中，针对此类故障的应对手段主要依赖软件层面的周期性校验或看门狗复位机制。例如，部分系统通过定期运行自检程序检查内存数据，或在检测到异常时触发系统重启。然而，这种基于软件的检测方式响应速度较慢，难以满足车辆控制纳秒至微秒级的实时性要求；一旦处理单元发生故障，系统往往需要经历较长的重启与重新初始化过程，导致控制指令中断，无法实现无缝切换。此外，若多个处理单元在物理空间上未做隔离，局部高温或强电磁脉冲等共模因素可能导致所有备份单元同时失效，进一步降低系统可靠性。

发明内容

本发明旨在提供一种基于三重冗余表决的车辆电子安全控制方法及系统，以解决现有技术中单一或简单冗余架构在极端环境下因缺乏物理隔离导致共模失效、软件校验响应慢引发控制中断以及故障恢复需重启造成服务不连续的技术问题。

为达到以上目的，本发明采用的技术方案为：一种基于三重冗余表决的车辆电子安全控制方法，包括：

构建由三个功能相同且物理相互隔离的处理单元组成的执行架构，利用统一时钟源驱动各处理单元并通过等长布线连接控制总线，确立初始状态基准；

将传感器数据通过广播式分发网络同时发送至三个处理单元，各处理单元依据初始状态基准执行完全相同的控制软件指令集，并在指令执行过程中插入空操作指令以维持流水线节奏一致，同时计算各处理单元的实时相位偏差；

将三个处理单元生成的独立输出向量送入专用硬件表决模块，该模块对每个控制信号的每一位执行多数逻辑判断，仅将至少两个单元一致的输出结果作为有效信号输出，并计算瞬时一致性系数；

监测三个处理单元在连续多个周期内的输出一致性，当某一处理单元的输出持续与其他两者不一致时，判定该处理单元发生故障，统计故障计数并立即通过高速并行同步总线从其余正常单元完整复制寄存器和随机存取存储器状态；

每隔预设时间周期自动触发全内存校验机制，计算各处理单元随机存取存储器页的循环冗余校验和并进行比对，若发现校验和不一致则利用正常单元的存储数据覆盖故障单元的对应数据页；

根据相位偏差、瞬时一致性系数及故障计数信息，综合评估系统当前安全指数，当安全指数低于预设阈值时自动调整控制频率或切换至保守驾驶模式。

优选的，三个所述处理单元被安置于车辆内部空间布局上振动特性、温度梯度及电磁场分布截然不同的区域，以切断因单一环境因素导致的共模故障风险。

优选的，所述确立初始状态基准包括：每个处理单元独立读取内部存储的固件代码并通过哈希校验算法验证代码完整性，随后通过高速并行同步总线交换各自的初始状态标识，仅在三个单元确认状态标识完全匹配且均处于就绪状态时进入主控制循环。

优选的，所述计算各处理单元的实时相位偏差包括：以统一时钟源的上升沿定义为理想同步时刻，计算各处理单元实际执行时刻与理想同步时刻的时间差值，并将时间差值与最大允许相位偏差进行比较，若超过阈值则触发气泡插入逻辑强制拉齐进度。

优选的，所述计算瞬时一致性系数包括：统计三个处理单元输出向量中所有位发生分歧的总比特数，将其除以总比特数得到差异比例，用一减去该差异比例得出瞬时一致性系数，并以此判断是否存在异常输出。

优选的，所述统计故障计数包括：设定滑动时间窗记录特定处理单元输出与多数表决结果不一致的次数，当累计次数超过预设故障阈值时正式判定该处理单元发生故障并启动重同步流程。

优选的，所述立即通过高速并行同步总线从其余正常单元完整复制寄存器和随机存取存储器状态包括：采用双缓冲机制确保数据传输的原子性，即在目标处理单元准备好接收新状态的同时，源处理单元继续提供最新数据，待双方缓冲区切换完成后统一更新。

优选的，所述利用正常单元的存储数据覆盖故障单元的对应数据页包括：在计算循环冗余校验和之前先对内存数据进行错误纠正码解码，若错误纠正码能定位并纠正单比特错误则直接使用纠正后的数据重新计算校验和，若无法纠正则直接标记为脏数据并进行全盘复制。

优选的，所述综合评估系统当前安全指数包括：将近期平均瞬时一致性系数、平均故障计数及内存错误率作为输入变量，根据权重分配计算得出综合安全指数，并据此决定是维持原状还是降低控制频率以增加计算裕度。

另一方面，本发明提出一种基于三重冗余表决的车辆电子安全控制系统，包括：

物理隔离执行单元组，由三个功能相同且物理相互隔离的处理单元组成，分别安置于车辆内部空间布局上振动特性、温度梯度及电磁场分布截然不同的区域，并通过统一时钟源驱动及等长布线连接控制总线；

数据分发与并发执行模块，用于将传感器数据通过广播式分发网络同时发送至三个处理单元，并在指令执行过程中插入空操作指令以维持流水线节奏一致，同时计算各处理单元的实时相位偏差；

专用硬件表决模块，采用现场可编程门阵列或专用集成电路，用于对三个处理单元生成的独立输出向量的每一位执行多数逻辑判断，仅输出至少两个单元一致的结果，并计算瞬时一致性系数；

状态重同步与故障判定单元，用于监测连续多个周期的输出一致性，统计故障计数，当判定故障时通过高速并行同步总线从正常单元

复制寄存器和随机存取存储器状态;

周期性校验与维护单元,用于每预设时间周期自动触发全内存校验机制,计算循环冗余校验和并比对,利用正常数据覆盖故障数据页;

自适应控制策略调整单元,用于根据前述步骤产生的相位偏差、瞬时一致性系数及故障计数信息综合评估系统安全指数,并在安全指数低于阈值时调整控制频率或切换至保守驾驶模式。

与现有技术相比,本发明的有益效果在于:

本发明通过构建物理空间分离的三重模态同步执行架构与专用硬件逐位多数表决机制,实现了纳秒至微秒级的瞬时错误屏蔽,消除了单点故障对实时控制的影响;同时利用连续多周期不一致判定结合高速并行同步总线,将故障单元的异常状态识别与正常单元的状态无缝复制压缩至亚毫秒级,避免了传统方案中因系统重启导致的控制中断,确保了制动、转向等关键指令执行的连续性;配合周期性全内存校验与自适应安全评估策略,进一步构建了从瞬时干扰屏蔽到软错误纠正的全周期防御体系,显著提升了车载电子控制系统在宇宙辐射、强电磁干扰及高温振动等严苛场景下的安全性、鲁棒性与可用性。

附图说明

图 1 为本发明基于三重冗余表决的车辆电子安全控制方法的流程图;

图 2 为本发明基于三重冗余表决的车辆电子安全控制系统的框图。

具体实施方式

以下描述用于揭露本发明以使本领域技术人员能够实现本发明。以下描述中的优选实施例只作为举例，本领域技术人员可以想到其他显而易见的变型。

如图 1 所示，本发明提出一种基于三重冗余表决的车辆电子安全控制方法，提升了车载电子控制系统在宇宙辐射、强电磁干扰及高温振动等严苛场景下的安全性、鲁棒性与可用性，具体包括：

构建由三个功能相同且物理相互隔离的处理单元组成的执行架构，利用统一时钟源驱动各处理单元并通过等长布线连接控制总线，确立初始状态基准；三个处理单元被安置于车辆内部空间布局上振动特性、温度梯度及电磁场分布截然不同的区域，以切断因单一环境因素导致的共模故障风险。

其中，确立初始状态基准包括：每个处理单元独立读取内部存储的固件代码并通过哈希校验算法验证代码完整性，随后通过高速并行同步总线交换各自的初始状态标识，仅在三个单元确认状态标识完全匹配且均处于就绪状态时进入主控制循环。

通过物理空间上的差异化布局（振动、温度、电磁场分布不同），有效切断了因单一环境恶劣因素导致的共模故障风险，从硬件根源上消除了三单元同时失效的可能性；结合基于哈希校验的固件完整性验证与状态标识的多单元交互确认机制，确保了系统仅在三个处理单元均具备完全一致且可信的初始状态时方可启动，从而在系统上电阶段即构建了高可靠性的信任根，杜绝了因代码篡改或初始化状态不一致引发的早期运行故障。

将传感器数据通过广播式分发网络同时发送至三个处理单元，各处理单元依据初始状态基准执行完全相同的控制软件指令集，并在指令执行过程中插入空操作指令以维持流水线节奏一致，同时计算各处理单元的实时相位偏差，具体包括：

以统一时钟源的上升沿定义为理想同步时刻，计算各处理单元实际执行时刻与理想同步时刻的时间差值，并将时间差值与最大允许相位偏差进行比较，若超过阈值则触发气泡插入逻辑强制拉齐进度。

通过引入空操作指令与动态气泡插入机制，在硬件层面强制消除了各处理单元因流水线差异或工艺偏差导致的执行时序抖动，确保了三重冗余架构下的严格指令级同步；实时相位偏差的闭环监测与自动修正，有效防止了因微秒级时间不同步引发的表决逻辑误判或状态竞争条件，为后续高精度硬件表决提供了可靠的时间基准，显著提升了系统在高频控制场景下的协同一致性与抗干扰能力。

将三个处理单元生成的独立输出向量送入专用硬件表决模块，该模块对每个控制信号的每一位执行多数逻辑判断，仅将至少两个单元一致的输出结果作为有效信号输出，并计算瞬时一致性系数，具体包括：统计三个处理单元输出向量中所有位发生分歧的总比特数，将其除以总比特数得到差异比例，用一减去该差异比例得出瞬时一致性系数，并以此判断是否存在异常输出。

利用专用硬件模块对输出信号进行逐位多数表决，实现了纳秒级的瞬时故障屏蔽，确保单一处理单元的软错误不会污染最终控制指令；同时通过计算瞬时一致性系数（差异比例），将定性的不一致转

化为定量的系统健康指标，不仅能在发生单比特翻转等细微异常时即时识别并隔离故障源，防止误动作，还为后续的安全状态评估提供了实时、精确的量化依据，极大提升了系统在极端环境下的容错精度与决策可靠性。

监测三个处理单元在连续多个周期内的输出一致性，当某一处理单元的输出持续与其他两者不一致时，判定该处理单元发生故障，统计故障计数并立即通过高速并行同步总线从其余正常单元完整复制寄存器和随机存取存储器状态；

其中，统计故障计数包括：设定滑动时间窗记录特定处理单元输出与多数表决结果不一致的次数，当累计次数超过预设故障阈值时正式判定该处理单元发生故障并启动重同步流程。

其中，立即通过高速并行同步总线从其余正常单元完整复制寄存器和随机存取存储器状态包括：采用双缓冲机制确保数据传输的原子性，即在目标处理单元准备好接收新状态的同时，源处理单元继续提供最新数据，待双方缓冲区切换完成后统一更新。

通过滑动时间窗与多周期一致性监测，有效过滤了瞬时干扰引发的误判，确保故障单元被精准、可靠地隔离；利用高速并行总线结合双缓冲机制实现的热备份状态无缝迁移，在毫秒级内完成故障单元的上下文恢复，彻底避免了传统冷重启导致的中断丢失或控制跳变；这种在线容错修复机制确保了关键控制指令执行的绝对连续性，显著提升了系统在动态工况下的服务可用性与整体鲁棒性。

每隔预设时间周期自动触发全内存校验机制，计算各处理单元随

机存取存储器页的循环冗余校验和并进行比对，若发现校验和不一致则利用正常单元的存储数据覆盖故障单元的对应数据页，具体包括：在计算循环冗余校验和之前先对内存数据进行错误纠正码解码，若错误纠正码能定位并纠正单比特错误则直接使用纠正后的数据重新计算校验和，若无法纠正则直接标记为脏数据并进行全盘复制。

通过双重防御机制，实现了内存故障的分级治理：不仅能自动修复单比特软错误以消除静默数据损坏风险，还能精准识别并隔离多比特硬故障；结合基于正常单元的全盘覆盖策略，确保了三重冗余架构中各单元存储状态的高度一致性，有效防止了因内存位翻转或老化导致的长期数据漂移，显著提升了系统在长周期运行下的数据完整性与系统可靠性。

根据相位偏差、瞬时一致性系数及故障计数信息，综合评估系统当前安全指数，当安全指数低于预设阈值时自动调整控制频率或切换至保守驾驶模式；

其中，综合评估系统当前安全指数包括：将近期平均瞬时一致性系数、平均故障计数及内存错误率作为输入变量，根据权重分配计算得出综合安全指数，并据此决定是维持原状还是降低控制频率以增加计算裕度。

构建了基于多维健康指标的动态安全评估体系，将系统状态从被动容错升级为主动防御；通过实时量化一致性、故障率及内存完整性并计算综合指数，实现了控制策略的自适应降级：在检测到潜在风险时自动降低控制频率或切换至保守模式，既为硬件纠错和状态恢复争

取了宝贵的时间裕度，避免了在系统亚健康状态下执行高负荷指令可能引发的灾难性失效，显著提升了系统在复杂工况下的本质安全性与运行稳健性。

另一方面，本发明提出一种基于三重冗余表决的车辆电子安全控制系统，如图 2 所示，包括：

物理隔离执行单元组，由三个功能相同且物理相互隔离的处理单元组成，分别安置于车辆内部空间布局上振动特性、温度梯度及电磁场分布截然不同的区域，并通过统一时钟源驱动及等长布线连接控制总线；

数据分发与并发执行模块，用于将传感器数据通过广播式分发网络同时发送至三个处理单元，并在指令执行过程中插入空操作指令以维持流水线节奏一致，同时计算各处理单元的实时相位偏差；

专用硬件表决模块，采用现场可编程门阵列或专用集成电路，用于对三个处理单元生成的独立输出向量的每一位执行多数逻辑判断，仅输出至少两个单元一致的结果，并计算瞬时一致性系数；

状态重同步与故障判定单元，用于监测连续多个周期的输出一致性，统计故障计数，当判定故障时通过高速并行同步总线从正常单元复制寄存器和随机存取存储器状态；

周期性校验与维护单元，用于每预设时间周期自动触发全内存校验机制，计算循环冗余校验和并比对，利用正常数据覆盖故障数据页；

自适应控制策略调整单元，用于根据前述步骤产生的相位偏差、瞬时一致性系数及故障计数信息综合评估系统安全指数，并在安全指

数低于阈值时调整控制频率或切换至保守驾驶模式。

进一步的，上述系统中的各模块在执行时还用于实现上述一种基于三重冗余表决的车辆电子安全控制方法的其他步骤，如下：

步骤一：构建物理隔离的三重模态同步执行架构并确立初始状态基准

本实施例的首要任务在于构建一个具备极高物理鲁棒性与逻辑一致性的基础运行环境，该环境由三个功能完全相同且物理上相互隔离的处理单元构成，三者共同组成系统的核心计算节点。

这三个处理单元在车辆内部空间布局上被严格分隔，分别安置于振动特性、温度梯度及电磁场分布截然不同的区域，从而从物理层面切断因单一环境因素（如剧烈震动导致焊点脱落、局部高温引发晶体管阈值漂移或强电磁脉冲干扰信号完整性）而同时导致所有单元失效的可能性。这种空间上的分离设计并非简单的堆叠，而是经过精密的热力学与电磁兼容分析后确定的最优解，确保任意两个单元之间的共模故障概率趋近于零。

在硬件连接层面，三个处理单元通过统一的高精度时钟源进行驱动，该时钟源采用低抖动晶体振荡器配合多级锁相环技术生成，其输出频率稳定性控制在极窄范围内，为后续指令级同步提供时间基准。为了确保指令执行的绝对同步，各处理单元与控制总线之间的布线长度经过严格的光学干涉仪测量与激光修正，实现等长布线，使得电信号在传输路径上的传播延迟差异被限制在皮秒量级，从而消除因走线长度不一致导致的时序偏差。

在系统上电初始化阶段，三个处理单元必须完成严格的自检与状态对齐过程，这一过程依赖于前文所述的物理隔离与时钟同步基础。

首先，每个处理单元独立读取内部存储的固件代码，并通过内置的哈希校验算法验证代码完整性，确保加载的控制逻辑未被篡改或损坏。随后，三个单元通过高速并行同步总线交换各自的初始状态标识，该标识包含当前寄存器堆的快照、内存基地址指针以及外部传感器接口的配置参数。只有当三个单元确认彼此的状态标识完全匹配，且均处于就绪状态时，系统才允许进入主控制循环。若发现任一单元状态异常，系统将立即触发复位流程，利用多数单元的完好状态覆盖故障单元的配置，直至三者在逻辑上达成一致。此阶段的核心在于建立信任边界，即在没有外部输入的情况下，系统内部已形成一个高度一致的虚拟单点，为后续的实时数据处理奠定坚实基础。

为了量化同步误差并设定容错阈值，系统引入动态相位调整机制。设第 i 个处理单元（其中 $i \in \{1,2,3\}$ ）在第 k 个时钟周期的实际执行时刻为 $t_{i,k}$ ，理想同步时刻为 $t_{ideal,k}$ ，则相位偏差 $\Delta t_{i,k}$ 表示为：

$$\Delta t_{i,k} = t_{i,k} - t_{ideal,k} ;$$

其中， $t_{ideal,k}$ 由统一时钟源的上升沿定义， $t_{i,k}$ 为该单元内部指令流水线完成当前周期任务的结束时刻。系统要求所有单元的相位偏差绝对值必须满足以下约束条件：

$$|\Delta t_{i,k}| \leq \delta_{max} ;$$

式中， δ_{max} 为预设的最大允许相位偏差，其数值根据总线传输延迟与指令执行时间的总和确定，通常设定为纳秒级。若某次检测发

现$|\Delta t_{i,k}| \leq \delta_{max}$，则判定该单元存在时序失步风险，系统需立即暂停该单元的输出投票权，并启动重新同步程序。通过上述公式的计算与监控，系统能够实时感知微小的时序波动，并在误差累积至影响表决结果之前将其剔除，从而保证三个处理单元在微观时间尺度上的严格一致性。

在完成物理布局与时钟同步的确认后，系统进入状态基准的确立环节。此时，三个处理单元将各自采集的传感器原始数据（如轮速、加速度、转向角等）进行初步预处理，并将处理后的数据块标记为初始数据帧。这些初始数据帧通过专用的数据通道发送至中央仲裁单元，仲裁单元负责比对三份数据的差异度。

若三份数据在允许的误差范围内一致，则将这些数据帧作为本次控制周期的基准输入；若存在不一致，则依据预设的加权规则暂时忽略差异最大的数据源，仅保留两份一致的数据作为基准。这一过程不仅依赖于前序步骤建立的物理隔离与同步机制，更是对这些机制有效性的第一次实战检验。通过这种层层递进的验证，系统确保了在没有任何外部干扰的理想环境下，三个处理单元能够作为一个整体协同工作，为后续复杂的实时控制任务提供可靠的输入源。

步骤二：实施指令级同步的数据流分发与多路并发执行策略

基于步骤一中构建的物理隔离架构与确立的初始状态基准，本步骤重点解决如何在三个独立运行的处理单元中实现数据流的精确分发与指令的并发执行，以确保所有单元在同一时刻对同一组输入做出相同的逻辑响应。

在车辆行驶过程中，外部环境瞬息万变，传感器产生的数据流具有极高的频率与不连续性，因此，数据分发机制必须具备极高的吞吐率与极低的时间确定性。系统采用广播式数据分发网络，将来自车辆的各类传感器数据（包括制动踏板位置、电机转速、方向盘转角等）通过高带宽串行链路同时发送至三个处理单元。由于步骤一中已确保布线等长且时钟同步，这三份数据到达各单元的时间差被控制在微秒级以内，从而保证了数据接收的相对同步性。

在接收到数据后，三个处理单元立即启动并行计算引擎，开始执行完全相同的控制软件指令集。为了确保指令执行的严格同步，系统引入了流水线气泡填充技术。当某个处理单元因等待特定外设响应而出现短暂停顿（即流水线气泡）时，其余两个正常运行的单元会自动插入空操作指令（NOP），以等待该单元补齐进度，从而维持整体的指令流节奏。这种动态调节机制依赖于步骤一中建立的相位偏差监测结果，一旦检测到某单元相位滞后超过预设阈值，系统即刻触发气泡插入逻辑，强制拉齐所有单元的指令执行进度。

此外，为了应对可能出现的瞬态错误，系统在指令执行过程中嵌入了双重校验位，每执行一条关键指令后，都会计算该指令执行前后的寄存器状态哈希值，并与预期值进行比对。

在执行过程中，三个处理单元对同一组输入数据进行独立的运算，产生三个独立的输出结果向量。设第 i 个处理单元在第 k 个控制周期产生的输出向量为 $O_{i,k}$，该向量包含了对各个执行器（如制动压力、节气门开度、气囊引爆指令等）的控制指令。

由于三个单元的软件代码完全一致且输入数据相同，理论上应有 $O_{1,k} = O_{2,k} = O_{3,k}$。然而，考虑到宇宙射线轰击、电磁干扰或元器件老化等因素可能导致单个比特翻转，实际运行中可能会出现 $O_{i,k} \neq O_{j,k}$ 的情况。为了捕捉并处理这些差异，系统在每个处理单元的输出端都配置了高速缓冲寄存器，用于暂存刚刚计算出的输出向量，并立即将其送入后续的步骤三所描述的表决模块。

为了量化执行过程中的数据一致性，系统定义了数据相似度指标 S_k，用于衡量三个处理单元输出结果的吻合程度。该指标可通过以下公式计算：

$$S_k = \frac{1}{N}\sum_{j=1}^{N}\left(1 - \frac{|O_{1,k}[j] - O_{2,k}[j]| + |O_{2,k}[j] - O_{3,k}[j]| + |O_{3,k}[j] - O_{1,k}[j]|}{2 \cdot M_{max}}\right)$$

其中，N 为输出向量的维度，即控制指令的数量；$O_{i,k}[j]$ 表示第 i 个单元输出的第 j 项控制值；M_{max} 为该控制通道的最大量程值。S_k 的取值范围为 [0,1]，当 $S_k = 1$ 时，表示三个单元的输出完全一致；当 $S_k < 1$ 时，表示存在差异。系统设定了一个阈值 T_S，取值为 0.99，若计算得到的 $S_k < T_S$，则表明至少有一个单元出现了异常输出，系统需立即启动后续的表决与纠错流程。

通过上述数据分发与并发执行策略，系统成功地将步骤一中建立的物理隔离优势转化为逻辑层面的冗余保护。三个处理单元在保持独立运行的同时，通过紧密的同步机制形成了一个逻辑上的整体。这种设计不仅提高了系统的计算能力，更重要的是通过多重备份消除了单点故障的风险。每一步的执行结果都直接依赖于前一步的数据分发质量与指令同步精度，任何环节的微小偏差都可能被放大并最终影响车

辆的安全控制。

步骤三：专用硬件表决模块的实时多数表决与异常信号屏蔽

承接步骤二中三个处理单元产生的独立输出向量，本步骤的核心任务是利用专用硬件表决模块对这些输出进行实时比对与多数表决，从而在纳秒至微秒级的时间窗口内识别并屏蔽瞬时错误，确保最终输出给车辆执行器的控制指令具有极高的可靠性。

该表决模块采用现场可编程门阵列（FPGA）或专用集成电路（ASIC）实现，其设计初衷是绕过通用处理器的软件开销，直接在硬件层面完成逻辑判断，以满足汽车电子系统对响应速度的严苛要求。表决模块的输入端口直接连接到步骤二中各处理单元的高速输出总线，能够同时接收三个处理单元在同一时刻发出的控制信号。

在硬件内部，表决模块针对每一个控制信号的每一位（Bit）执行多数表决逻辑。对于第 j 个控制信号的第 b 位，设三个处理单元的输出分别为$B_{1,j,b}$、$B_{2,j,b}$和$B_{3,j,b}$，其中$B \in \{0,1\}$。表决逻辑遵循少数服从多数的原则，即只要有两个或以上的单元输出相同，该位的最终输出即为该值。数学表达如下：

$$V_{j,b} = (B_{1,j,b} \wedge B_{2,j,b}) \vee (B_{2,j,b} \wedge B_{3,j,b}) \vee (B_{3,j,b} \wedge B_{1,j,b})$$；

其中，$V_{j,b}$表示表决后的最终输出位，$\wedge$代表逻辑与运算，$\vee$代表逻辑或运算。该公式确保了在三个输入中，只要有两个输入一致，无论第三个输入是正确还是错误（例如因单粒子翻转导致的比特跳变），输出都将保持一致的正确值。通过这种逐位表决的方式，系统能够有效屏蔽单个单元的随机软错误或瞬时硬错误，保证输出信号的

纯净度。

除了基础的多数表决外，本步骤还引入了置信度评估机制，以增强系统的诊断能力。系统定义了一个瞬时一致性系数C_k，用于反映当前周期内三个单元输出的整体一致程度。该系数可以通过统计出现分歧的位数比例来计算：

$$C_k = 1 - \frac{\sum_{j=1}^{N}\sum_{b=0}^{7}(B_{1,j,b} \oplus B_{2,j,b} \vee B_{2,j,b} \oplus B_{3,j,b} \vee B_{3,j,b} \oplus B_{1,j,b})}{8 \cdot N}$$

其中，$\oplus$表示异或运算，分母$8 \cdot N$为总比特数（假设每个控制字为 8 位）。当$C_k = 1$时，表示所有位均无分歧；当$C_k < 1$时，表示存在分歧。系统设定了一个动态阈值T_C，若C_k低于该阈值，说明当前环境干扰较大或某单元故障加剧，系统将自动提高表决的敏感度，并记录该异常事件以供后续分析。

表决后的输出信号$V_{j,b}$将被组合成完整的控制向量V_k，并通过高速并行同步总线直接发送至车辆执行器（如制动液压泵、电子节气门电机或安全气囊点火电路）。在此过程中，系统严格禁止任何软件介入，以确保表决结果的即时性与不可篡改性。若表决结果显示三个单元全部不一致（即出现两两互斥的极端情况，概率极低但理论上存在），系统将触发安全降级模式，立即切断对危险执行器的控制，并切换到预设的默认安全状态（如紧急制动或保持静止），以防止因逻辑混乱导致事故。

此外，表决模块还具备自诊断功能，能够实时监控自身的逻辑门工作状态。通过内置的环形测试电路，系统定期注入测试向量并验证输出是否正确，一旦发现表决逻辑本身出现故障，将立即上报并切换

至备用表决通道。这种自我修复能力进一步提升了系统的可用性，确保即使在极端恶劣的电磁环境下，表决模块依然能够准确无误地工作。

步骤四：故障单元的连续监测与亚毫秒级无缝状态重同步

在步骤三中，虽然表决模块成功屏蔽了单点的瞬时错误，但若某一处理单元持续多个周期输出与其他两者不一致，则表明该单元可能发生了持续性硬件故障或受到了持续的辐射扰动。本步骤旨在针对此类持续异常情况进行精准判定，并执行亚毫秒级的无缝重同步操作，以保障控制系统的连续性与稳定性。

系统通过步骤三中记录的瞬时一致性系数C_k历史序列，构建一个滑动时间窗，用于统计故障发生的频率与持续时间。设故障计数函数 F(k)定义为在时间窗 W 内，第 i 个单元输出与多数结果不一致的次数，则：

$$F_i(k) = \sum_{m=k-W+1}^{k} \mathbb{I}(V_{i,m} \neq V_{major,m})$$ ；

其中，$\mathbb{I}(\cdot)$为指示函数，当括号内条件成立时值为 1，否则为 0；$V_{major,m}$为多数表决结果；W 为时间窗大小，通常设定为涵盖若干个控制周期（如 10 个周期）。当$F_i(k)$超过预设的故障阈值T_F时，系统正式判定第 i 个单元发生故障，并立即启动状态重同步流程。

一旦故障被确认，系统不会立即重启或隔离该单元，而是优先尝试通过高速并行同步总线从其相邻的两个正常单元（即步骤二中表现一致的另外两个单元）完整复制寄存器和 RAM 状态。这一过程利用了

步骤三中建立的硬件直通通道，确保数据传输的带宽与速度能够满足亚毫秒级的要求。

状态复制的内容包括通用寄存器堆、浮点运算单元状态、中断掩码寄存器以及关键数据区域的 RAM 内容。为了保证复制过程的原子性，系统采用了双缓冲机制，即在目标单元（故障单元）准备好接收新状态的同时，源单元继续提供最新数据，待双方缓冲区切换完成后，再统一更新，从而避免中间状态的不一致。

为了量化重同步的效率与准确性，系统定义了重同步延迟 D_{sync}，其计算公式为：

$$D_{sync} = T_{detect} + T_{transfer} + T_{verify}$$；

其中，T_{detect} 为从故障发生到被判定所需的检测时间，$T_{transfer}$ 为状态数据从源单元传输至目标单元所需的时间，T_{verify} 为目标单元接收数据并完成校验的时间。在优化的硬件架构下，$T_{transfer}$ 主要由总线带宽决定，T_{verify} 则由 CRC 校验速度决定。系统设计目标是使 D_{sync} 小于 1 毫秒，以确保在控制循环中几乎察觉不到中断。重同步完成后，故障单元将立即恢复正常运行，并重新参与步骤三的表决过程，形成新的平衡。

此外，系统还引入了状态回滚机制作为重同步的补充。若在重同步过程中发现源单元的状态也存在问题（例如受到共模干扰），系统将根据步骤一中的初始状态基准，尝试从非易失性存储器中加载最近一次保存的完好快照。

这一机制依赖于步骤二中建立的数据备份策略，确保在任何情况

下都能找到正确的状态参考点。通过这种多层次的恢复策略，系统不仅解决了当前的故障问题，还为未来的潜在风险预留了应对方案，极大地提升了系统的鲁棒性。本步骤通过对步骤三输出的深度分析与快速响应，实现了故障处理的自动化与透明化，确保了车辆控制逻辑在任何时刻都不会因为单个单元的失效而中断。

步骤五：周期性全内存校验与软错误的前置纠正

鉴于步骤四中处理的重同步主要针对持续性故障，本步骤专注于应对那些难以通过短时观测发现的软错误，特别是由宇宙射线或人工辐射引起的内存位翻转。

系统设计了每 100 毫秒自动触发的全内存校验机制，该机制在后台独立运行，完全不占用主控制环的算力资源，从而不影响步骤三与步骤四的实时性。校验过程基于循环冗余校验（CRC-32）算法，对三个处理单元的所有 RAM 页进行逐页扫描与比对。

在校验开始时，每个处理单元首先计算自身当前内存状态的 CRC-32 校验和，记为$H_{i,k}$，其中 i 为单元编号，k 为校验周期索引。计算公式如下：

$$H_{i,k} = \mathrm{CRC32}(M_{i,k})$$;

其中，$M_{i,k}$表示第 i 个单元在第 k 周期的完整内存镜像数据。随后，三个单元通过共享总线交换各自的校验和，并进行两两比对。若$H_{1,k} = H_{2,k} = H_{3,k}$，则表明所有单元的内存状态一致，未发生软错误；若发现$H_{i,k} \neq H_{j,k}$，则说明至少有一个单元的内存数据发生了改变。此时，系统立即启动纠错流程，利用其他两个单元的正确内存

数据覆盖故障单元的对应内存页。

为了进一步提高纠错的准确性，系统引入了奇偶校验与 ECC（错误纠正码）的混合验证机制。在计算 CRC-32 之前，先对内存数据进行 ECC 解码，若 ECC 能定位并纠正单比特错误，则直接使用纠正后的数据重新计算 CRC；若 ECC 无法纠正（如双比特错误），则直接标记该页为脏数据，并从正常单元进行全盘复制。这一过程确保了即使是最隐蔽的软错误也能被及时发现并修复。校验与纠错的总耗时被严格控制在 10 毫秒以内，远小于 100 毫秒的触发周期，从而保证了在主控制循环运行期间，校验过程不会造成任何延迟或卡顿。

校验结果会被记录在系统的健康状态日志中，供后续分析与优化使用。若某单元频繁出现内存校验失败，系统将提前预警，提示维护人员进行检查或更换，从而将潜在的硬件故障消灭在萌芽状态。这一机制是对步骤四重同步策略的重要补充，它从更深层次的存储介质角度保障了数据的完整性。通过这种高频次、低影响的校验手段，系统 effectively 屏蔽了辐射等环境因素对内存数据的侵蚀，确保了长期运行下的可靠性。

步骤六：极端环境下的综合安全评估与自适应控制策略调整

在完成前述五个步骤的严密运行后，本步骤旨在对整个系统进行综合安全评估，并根据实时监测到的环境特征与系统状态，动态调整控制策略以适应极端工况。系统不再局限于单一的表决与纠错，而是将步骤一至步骤五产生的所有数据（包括相位偏差、一致性系数、故障计数、内存校验结果等）汇总到一个全局评估模型中。该模型通过

分析历史趋势，预测未来可能出现的风险点，并据此调整系统的运行参数。

在评估过程中，系统会计算当前的综合安全指数S_{total}，该指数反映了系统在特定环境下的整体健康水平。计算公式如下：

$$S_{total} = w_1 \cdot \bar{C}_k + w_2 \cdot (1 - \frac{F_{avg}}{W}) + w_3 \cdot (1 - E_{err})$$；

其中，$\bar{C}_k$为近期平均一致性系数，F_{avg}为平均故障计数，E_{err}为内存错误率；w_1, w_2, w_3为权重系数，根据应用场景的重要性进行分配。当S_{total}低于预设的安全下限L_{safe}时，系统将自动触发自适应控制策略，例如降低控制频率以增加计算裕度、扩大表决容错范围以容忍更多噪声，或切换至保守驾驶模式以降低车辆动态性能。

此外，系统还具备学习进化能力，能够根据长期的运行数据不断优化步骤一中的物理隔离参数与步骤二中的同步阈值。例如，若发现某区域电磁干扰频发，系统可自动调整时钟源的滤波参数，或在步骤三中增加额外的校验位。这种动态调整机制确保了系统在不同车型、不同路况及不同气候条件下的适用性，使其能够在自动驾驶、电控底盘、主动安全等严苛场景中始终保持最佳状态。

本实施例构建了一个全方位、多层次的车辆电子安全控制系统。从物理隔离的底层架构，到指令级同步的中层执行，再到硬件表决与状态重同步的实时防护，最后延伸至内存校验与安全评估的宏观管理。

以上显示和描述了本发明的基本原理、主要特征和本发明的优点。本行业的技术人员应该了解，本发明不受上述实施例的限制，上

述实施例和说明书中描述的只是本发明的原理，在不脱离本发明精神和范围的前提下本发明还会有各种变化和改进，这些变化和改进都落入要求保护的本发明的范围内。本发明要求的保护范围由所附的权利要求书及其等同物界定。


构建由三个功能相同且物理相互隔离的处理单元组成的执行架构，利用统一时钟源驱动各处理单元并通过等长布线连接控制总线，确立初始状态基准
将传感器数据通过广播式分发网络同时发送至三个处理单元，各处理单元依据初始状态基准执行完全相同的控制软件指令集，并在指令执行过程中插入空操作指令以维持流水线节奏一致，同时计算各处理单元的实时相位偏差
将三个处理单元生成的独立输出向量送入专用硬件表决模块，该模块对每个控制信号的每一位执行多数逻辑判断，仅将至少两个单元一致的输出结果作为有效信号输出，并计算瞬时一致性系数
监测三个处理单元在连续多个周期内的输出一致性，当某一处理单元的输出持续与其他两者不一致时，判定该处理单元发生故障，统计故障计数并立即通过高速并行同步总线从其余正常单元完整复制寄存器和随机存取存储器状态
每隔预设时间周期自动触发全内存校验机制，计算各处理单元随机存取存储器页的循环冗余校验和并进行比对，若发现校验和不一致则利用正常单元的存储数据覆盖故障单元的对应数据页
根据相位偏差、瞬时一致性系数及故障计数信息，综合评估系统当前安全指数，当安全指数低于预设阈值时自动调整控制频率或切换至保守驾驶模式

图 1

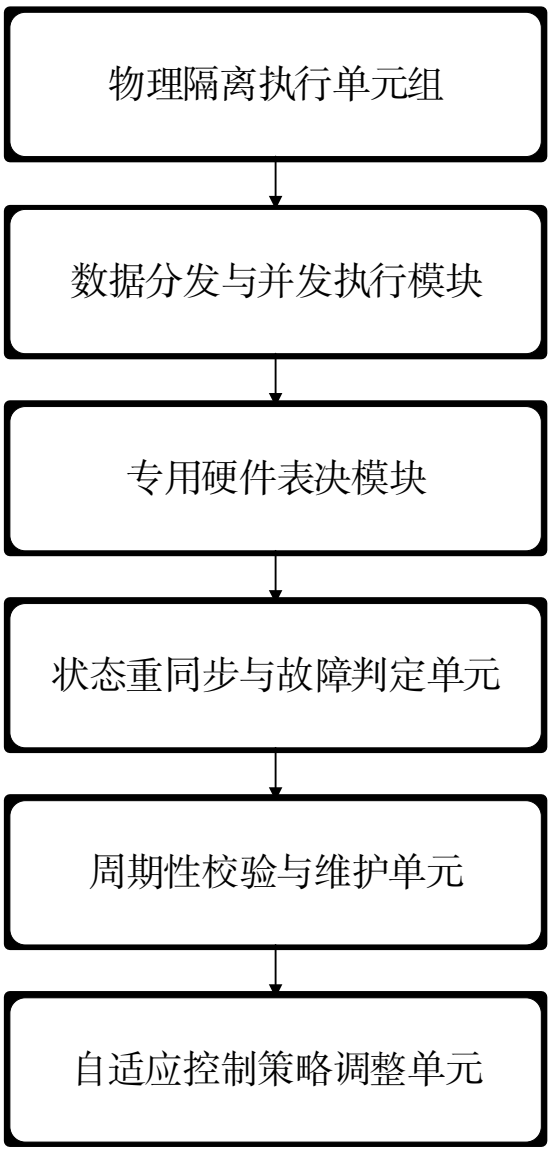
物理隔离执行单元组
数据分发与并发执行模块
专用硬件表决模块
状态重同步与故障判定单元
周期性校验与维护单元
自适应控制策略调整单元

图 2